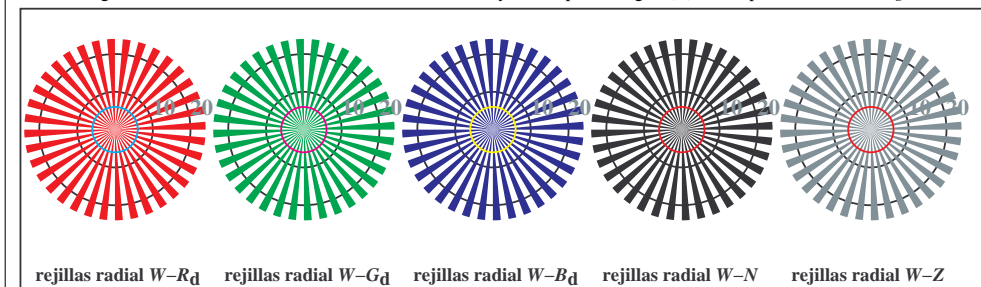
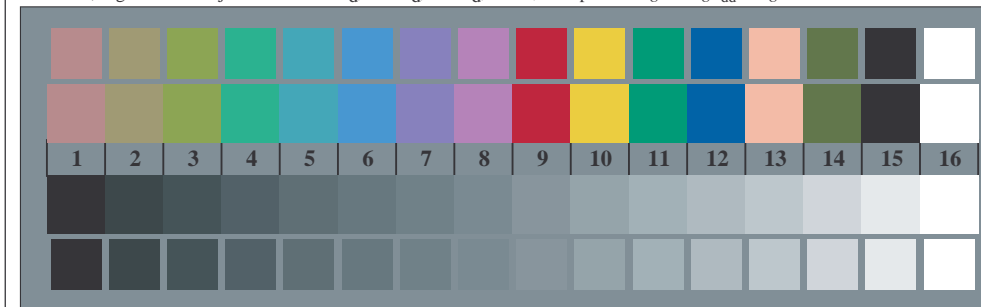




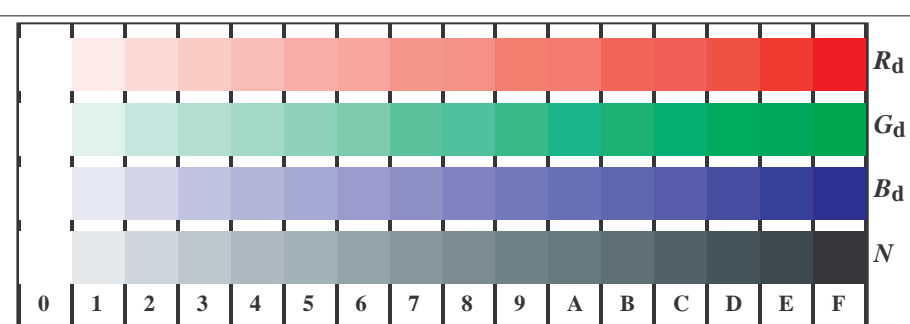
TS860-3, Fig. D1Wdd: motivos florales, CIE 14 colores del test y 2 + 16 pasos de gris (sf); ; PS operator: 4 colorimage



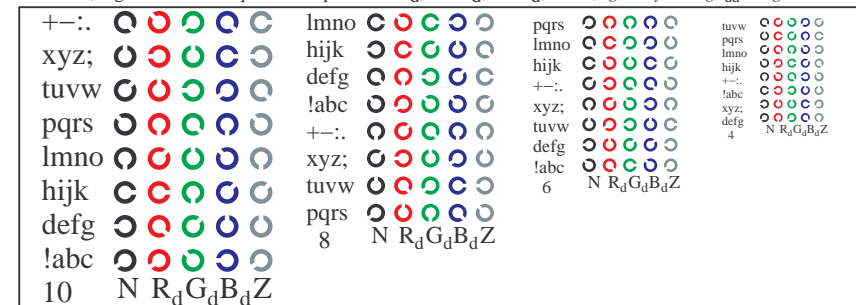
TS860-5, Fig. D2Wdd: rejillas radial $W-R_d$; $W-G_d$; $W-B_d$; $W-N$; PS operator: $rgb \rightarrow rgb_{dd}$ setrgbcolor



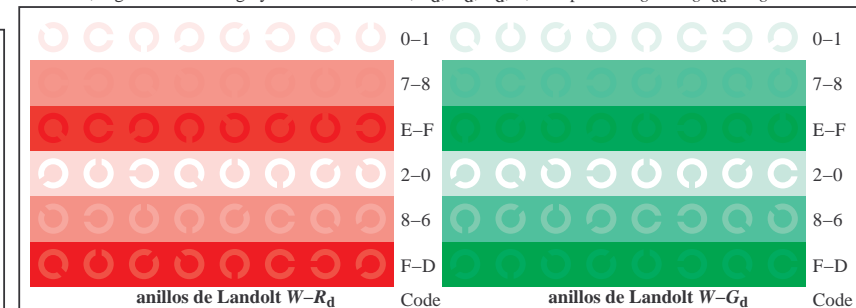
TS860-7, Fig. D3Wdd: CIE 14 colores del test y 2 + 16 pasos de gris (sf); PS operator: $rgb/cmy0 \rightarrow rgb_{dd}$ setrgbcolor



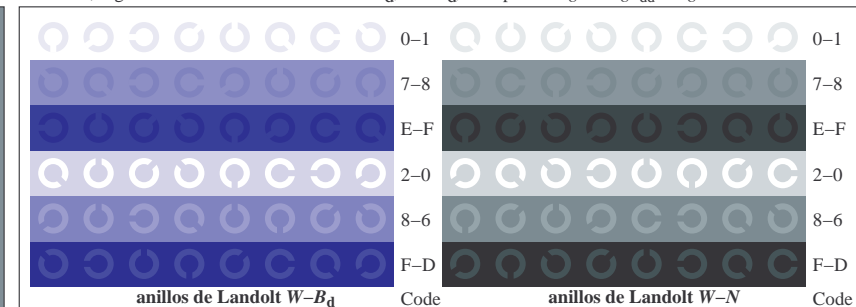
TS861-1, Fig. D4Wdd: 16 equidistante pasos $W-R_d$; $W-G_d$; $W-B_d$; $W-N$; $rgb/cmy0 \rightarrow rgb_{dd}$ setrgbcolor



TS861-3, Fig. D5Wdd: código y Landolt anillos N ; R_d ; G_d ; B_d ; Z ; PS operator: $rgb \rightarrow rgb_{dd}$ setrgbcolor



TS861-5, Fig. D6Wdd: anillos de Landolt $W-R_d$; $W-G_d$; PS operator: $rgb \rightarrow rgb_{dd}$ setrgbcolor



TS861-7, Fig. D7Wdd: anillos de Landolt $W-B_d$; $W-N$; PS operator: $rgb \rightarrow rgb_{dd}$ setrgbcolor